

Elméleti módszerek lipidek és membránfehérjék tanulmányozására

Hegedűs Tamás

tamas@hegelab.org

MTA-SE Molekuláris Biofizikai Kutatócsoport
SE Biofizikai és Sugárbiológiai Intézet

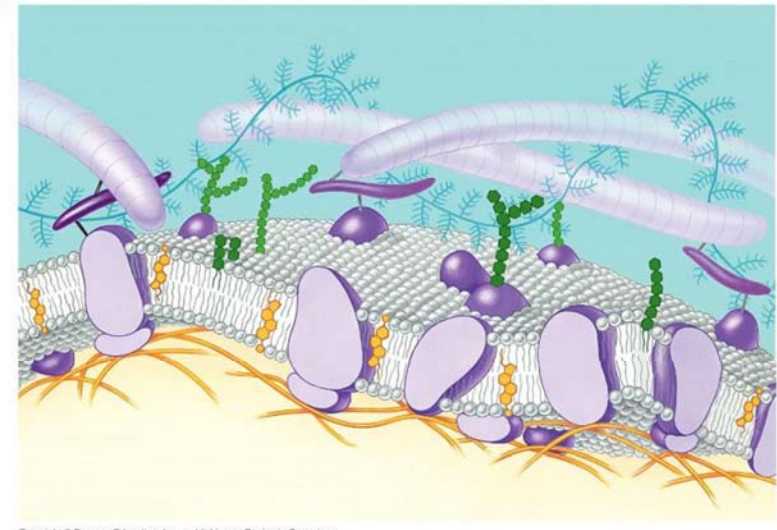


Fehérjék szerkezetének és dinamikájának jelentősége

A betegség molekuláris szintű oka?
A gyógyszer-kötő zseb alakja?

37°C-on, oldatban nem egy szerkezet létezik,
hanem egy konformációs sokaság.

Membránok és membránfehérjék



Copyright © Pearson Education, Inc., publishing as Benjamin Cummings.

Számítógépes modellezés jelentősége

Atomi szintű információt ad mozgásokról.

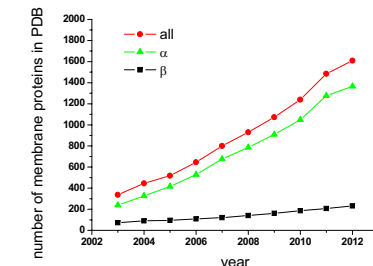
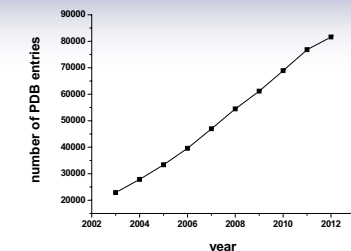
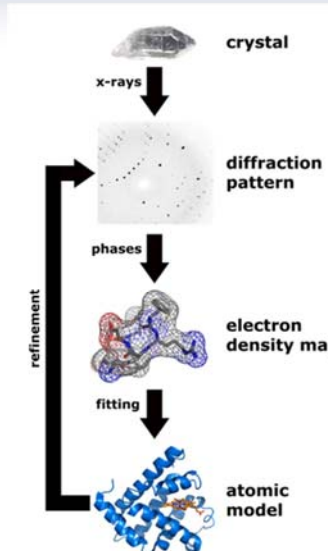
Kísérletes módszerek általában nem
szolgáltatnak közvetlen információt az
atomi szintű történésekről.

PI. NMR és MD - igen

Membránfehérjék szerkezeti modellezése

- Kísérleti adatok alapján
- Homológia modellezés
- „Threading” v. “fold recognition”

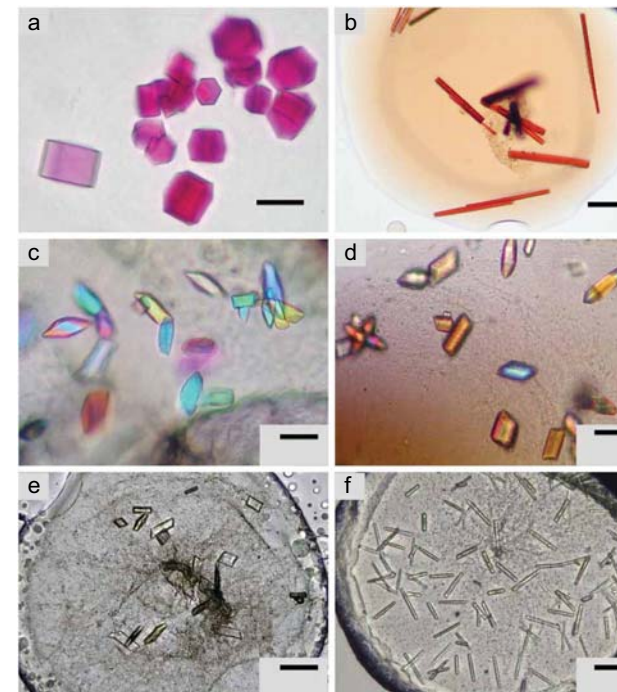
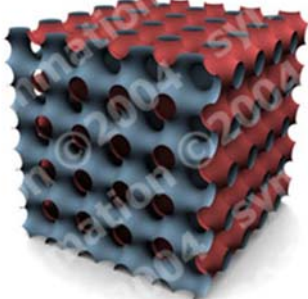
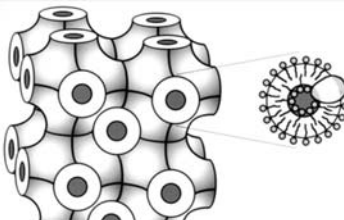
Szerkezet meghatározás – Röntgen krisztallográfia



pdbtm.enzim.hu, Tudsány Gábor

Szerkezet meghatározás – cubic phase

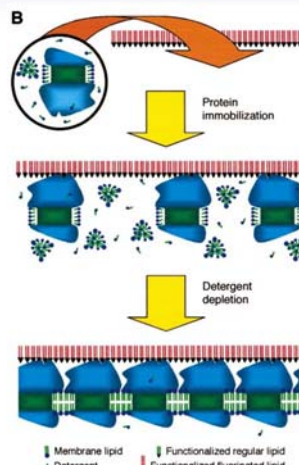
monoolein/water



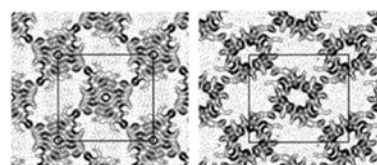
Crystals of membrane proteins growing in the lipidic mesophase.

- (a) Bacteriorhodopsin
- (b) light-harvesting complex II
- (c) adhesin/invasin OpcA
- (d) vitamin B12 transporter BtuB
- (e) human b2 adrenergic receptor-T4 lysozyme chimera
- (f) Carbohydrate transporter from *Pseudomonas*.

Szerkezet meghatározás – 2D kristály



2D kristály



Homológia modellezés I.

- Templát keresés
- Szekvencia illesztés
- Modellezés
- Energia-minimalizálás

BLOSUM (BLOCKS of AMINO ACID SUBSTITUTION Matrix) matrix
is a substitution matrix

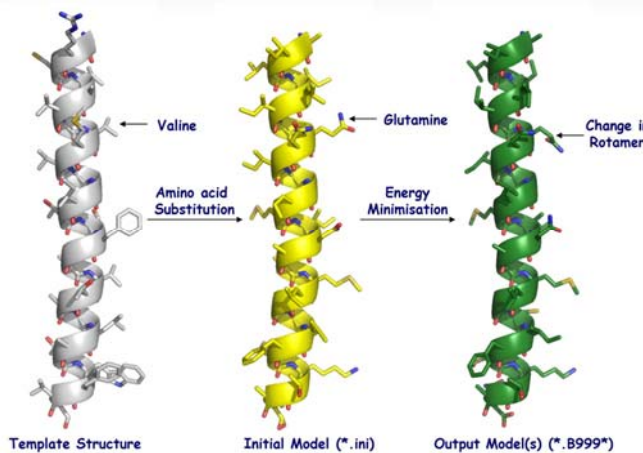
Ala	-4
Arg	-1 5
Asn	-2 -2 0 6
Asp	-2 -2 1 6
Cys	0 -3 -3 -5 9
Gln	-1 1 0 0 -3 5
Glu	0 1 0 2 -4 2 5
Gly	0 0 2 0 -1 -3 -2 -2 6
His	-2 0 1 -1 -3 0 0 -2 8
Ile	-1 -3 -3 -1 -3 -3 -4 -3 4
Lys	-1 2 0 -1 -3 1 -2 -1 -2 6
Met	-1 -1 -2 -2 -1 1 -2 -3 2 1 2 1 5
Phe	-2 -3 -3 -2 -2 -3 -3 -1 0 0 -3 0 6
Pro	-1 2 -2 -1 -1 -1 -2 -2 -3 -3 -1 -2 -4 7
Ser	1 -1 1 -1 0 0 0 -1 -2 -2 0 -1 -2 -1 4
Thr	0 -1 0 -1 -1 -1 -2 -2 -3 -1 -1 -1 -2 -1 5
Trp	-3 -4 -4 -2 -2 -3 -2 -2 -3 -2 -3 -1 1 -4 -3 -2 11
Tyr	-2 -3 -3 -2 -2 -1 -2 -3 2 -1 -1 -1 3 -3 -2 2 7
Val	0 -3 -3 -1 -1 2 -2 -3 1 -2 0 -3 -1 -3 -1 6

CLUSTAL W (1.83) multiple sequence alignment

Alignment – pl. ClustalW

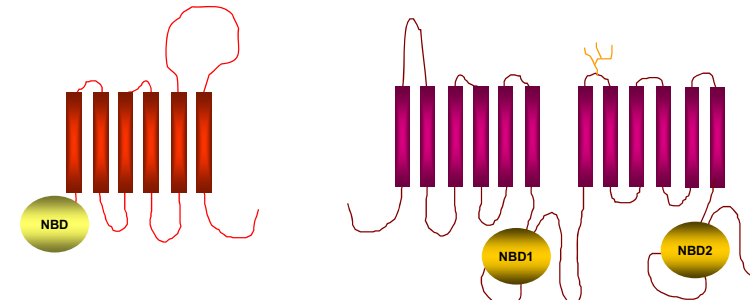
2HYD	-----M I K R Y L Q F V K -----P Y K Y R I F A T I I V G I I K F G I P M L I P
3B5X	-----W Q T F K R L N T Y I R -----L Y K A G I L V S T I A L V I N A A A D T Y M I
CFTR_HUMAN	M Q R S P L E K A S V V S K L L F F S W T R P I L R K G Y Q R L E L S D I Y Q I P S V D S A D N L S
*	: * : * : * : * : :
	5 10 15 20 25 30 35
	M Q R S P L E K A S V V S K L L F F S W T R P I L R K G Y Q R L E L S D I Y Q I P S V D S A D N L S

Homológia modellezés II.

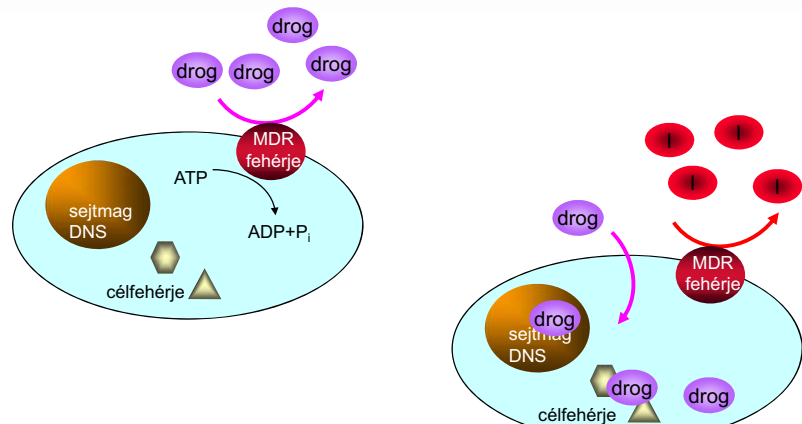


forrás: SBCB, Oxford, UK

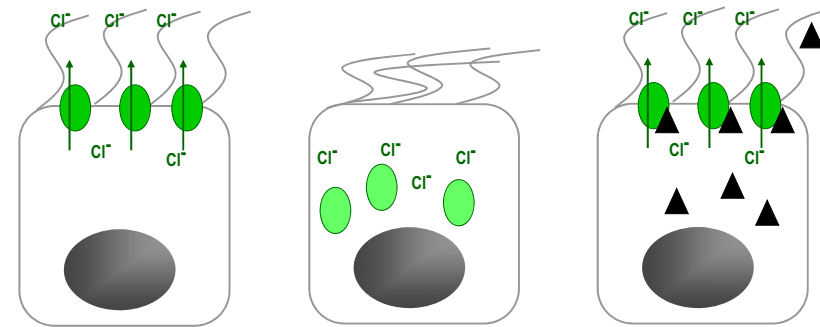
ATP Binding Cassette (ABC) fehérjék



A multidrog-rezisztencia és felfüggesztése



Cisztás fibrózis



Membránfehérjék nanodisc-ben

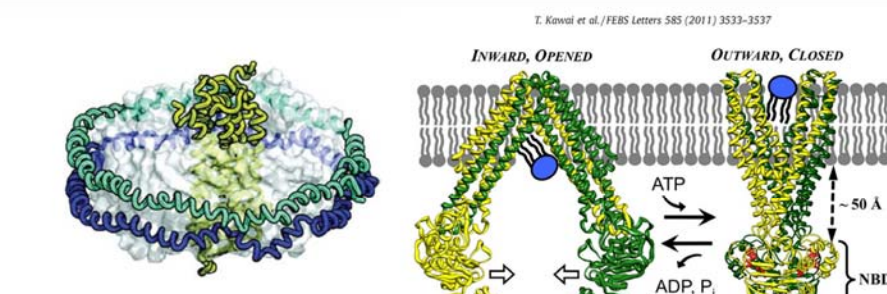
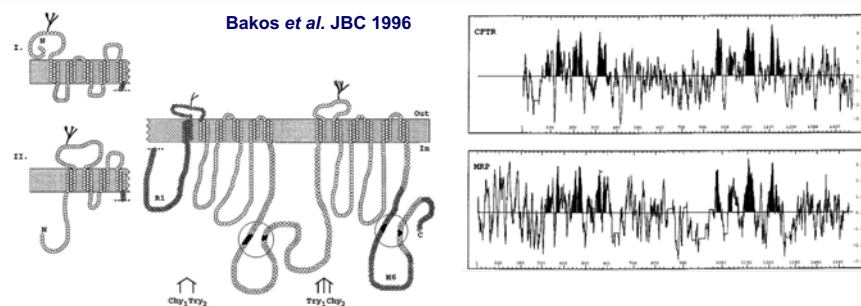


Figure 1 Model of nanodiscs with incorporated rhodopsin. Blue: membrane scaffold protein; gray: phospholipid bilayer, green: rhodopsin. The model was adapted from Nath et al. (2007a).

Szimulációk problémái

- A vizsgálni kíván membránfehérje térszerkezete nem ismert
Sokszor a membránfehérjék membrán topológiája sem ismert
- Lipid-lipid, lipid-fehérje kölcsönhatások fizikai alapjai kevéssé ismertek

Membránfehérjék topológiája



Membrántopológia és TM hélixek predikciója

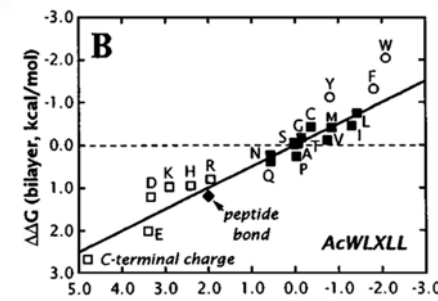
HMMTOP.enzim.hu

- Szekvencia alapján
- Nem specifikus aminosavak feldúsulása a TMH-ban
- TMH és más részek között más az aminosav eloszlás

TMDET.enzim.hu

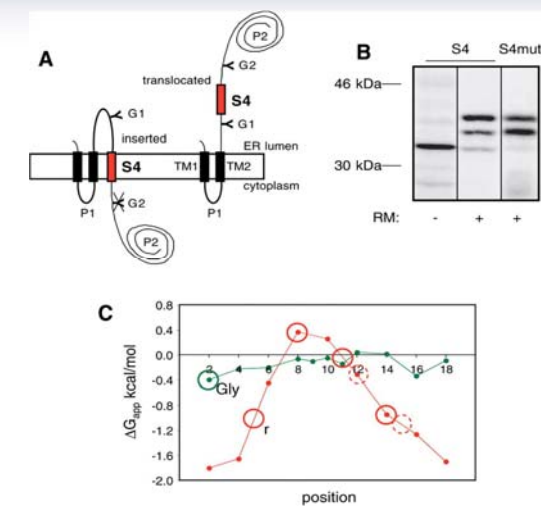
- Szerkezet alapján
- „water accessible area”
lipid kettősréteg lehetséges helye
pontozás – fitnessz függvény

TMH beépülésének kísérletes jellemzése



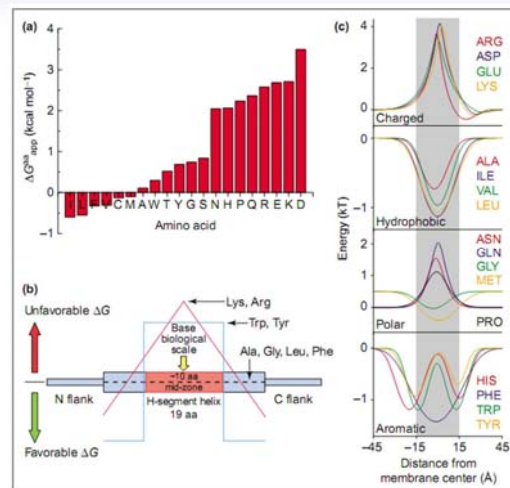
White and Wimley
Ann Rev Biophys and Biomolecular
Structure, 1999

TMH beépülésének kísérletes jellemzése



Hessa et al. Science 2005;307:1427

Aminosavak megoszlása

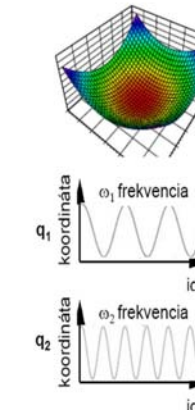


White and von Heijne, Current opinion in structural biology, 2005

Fehérjék dinamikájának vizsgálata

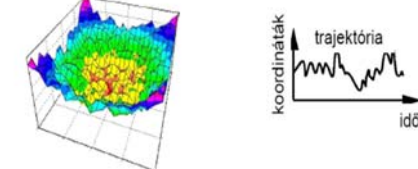
Normál-módus elemzés

- harmonikus potenciál
- analitikus mozgássegyenletek
- normál modusok



Molekuláris dinamika (MD)

- valós potenciálfelület
- mozgássegyenletek
- idő-lépésekbenki numerikus megoldása
- trajektória



- idő (CPU, valós)
- potenciál kiszámolása a szűk keresztmetszet
- numerikus integrálás hibája
- fs-os integrációs lépések
- oldószer (explicit/implicit)
- „boundary condition”

A „force field”

Baker (2007)

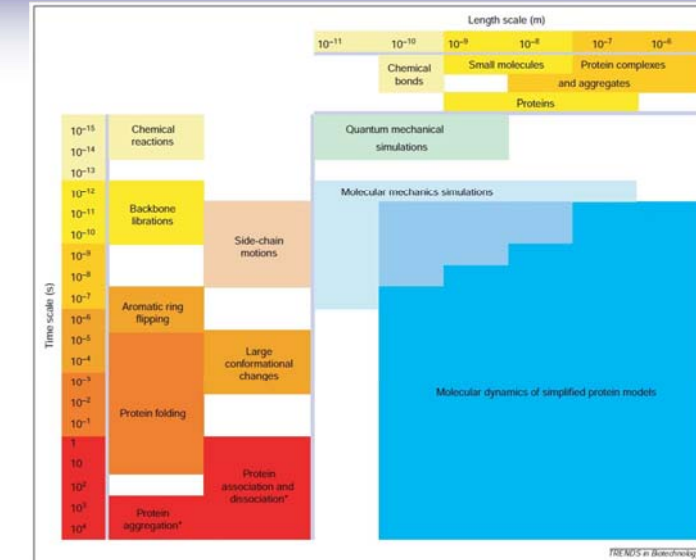
$$E_{\text{prot}} = W_{\text{rot}} E_{\text{rot}} + W_{\text{atr}} E_{\text{atr}} + W_{\text{rep}} E_{\text{rep}} + W_{\text{solv}} E_{\text{solv}} + W_{\text{pair}} E_{\text{pair}} + W_{\text{mbenv}} E_{\text{mbenv}} + W_{\text{hbond}} E_{\text{hbond}} - E_{\text{ref}}$$

$$E_{\text{mbenv}}^{\text{natom}} = \sum_i \Delta G_i^{\text{ref}}(z') \quad \Delta G_i^{\text{ref}}(z') = (1 - f(z')) * (\Delta G_i^{\text{ref, chex}} - \Delta G_i^{\text{ref, water}})$$

TABLE II. Atomic Contribution to the Solvation Free Energy in Water and Cyclohexane

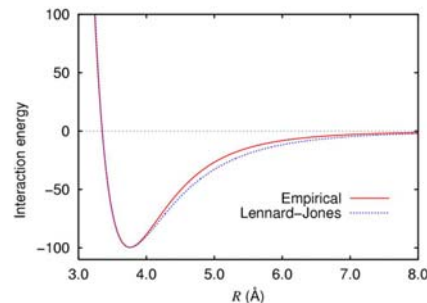
	Water	Chex	Water	Chex	
CR	-0.890	-1.350	NH3	-20.000	-1.145
CH1E	-0.187	-0.645	NC2	-10.000	-0.200
CH2E	0.372	-0.720	N	-1.000	-1.145
CH3E	1.089	-0.665	OH1	-5.920	-0.960
CR1E	0.057	-0.410	O	-5.330	-1.270
NH1	-5.950	-1.145	OC	-10.000	-0.900
NR	-3.820	-1.630	S	-3.240	-1.780
NH2	-5.450	-1.145	SH1E	-2.050	-1.855

„Események” időskálája

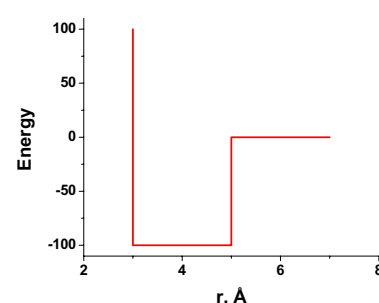


F. Ding and N.V. Dokholyan, TRENDS in Biotechnology, 23:450 (2005)

Diszkrét Molekuláris Dinamika (DMD)



wikipedia



Ding, F., Dokholyan, N. V. PLoS Comput Biol 2:e85

Egyszerűsített (Coarse Grain) modellek

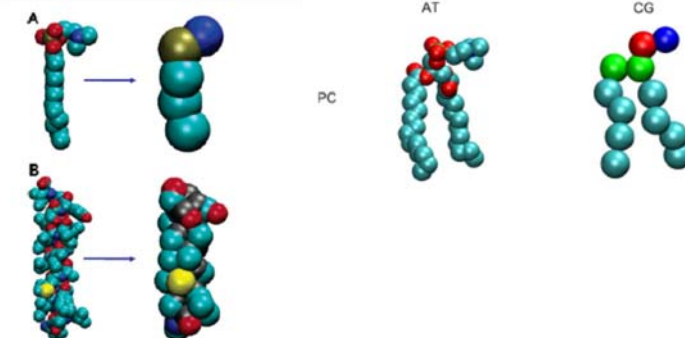


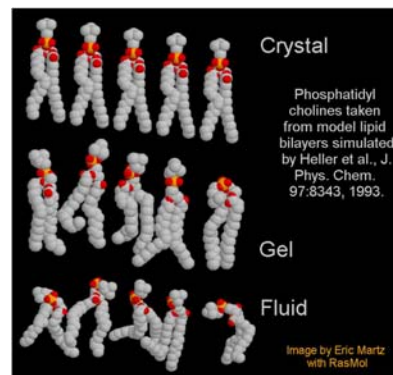
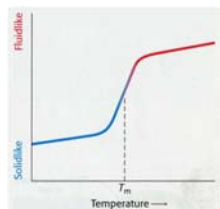
Figure 1. Atomistic (left-hand) and coarse-grained (right-hand) models compared for (A) a DPC molecule and (B) a GpA helix. Colors for atoms:

Sansom, Oxford University
Marrink, Groningen, MARTINI force field

A membrán fluiditása, fázisátmenetei

1. Hőmérésklet → fázisátalakulás
2. Összetétel

- lánchossz
- cisz-kötések
- koleszterin



Lipid struktúrák összeszerelődése

Molecular dynamics simulations of glycocholate-oleic acid mixed micelle assembly.
Langmuir 2010, 26(7), 4687–4692

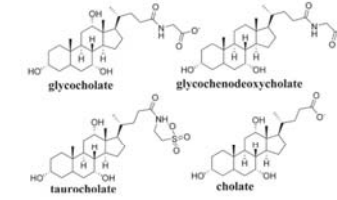
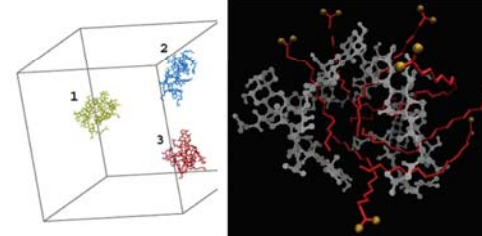
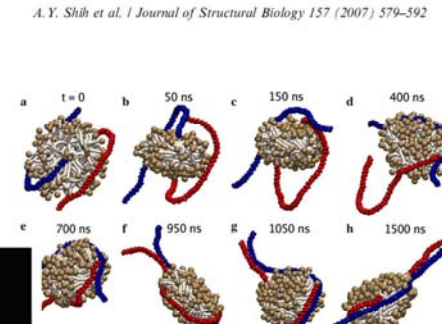
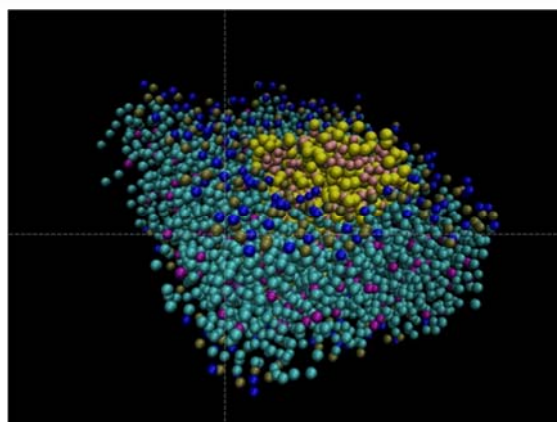


Figure 1. Chemical structures of the four common bile salts: glycocholate, glycochenodeoxycholate, taurocholate, and cholate.

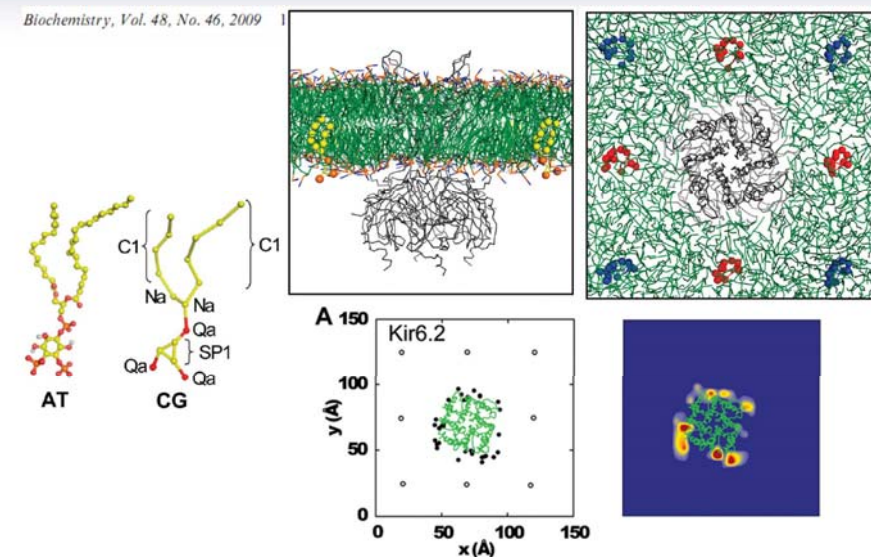


Kettősréteg felépülése a fehérje köré



PIP2 kötődése Kir kálium csatornához

Biochemistry, Vol. 48, No. 46, 2009



Lipid-összetétel – lokális működés szabályozás

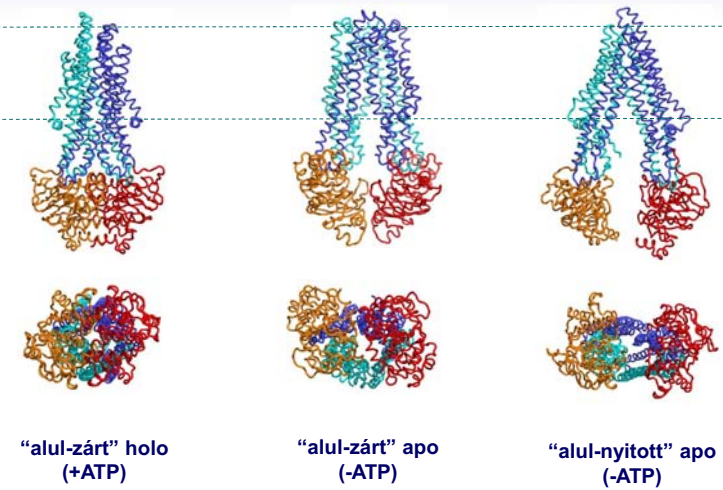
	chol	PC	PE	PS	PI	PG	CL
plazmamembrán	30	18	11	9	4	0	0
Golgi-komplex	8	40	15	4	6	0	0
SER	10	50	21	0	7	0	2
RER	6	55	16	3	8	0	0
magmembrán	10	55	20	3	7	0	0
lizoszóma membr.	14	25	13	0	7	0	5
mitokondriális							
belső membrán	3	45	24	1	6	2	18
külső membrán	5	45	23	2	13	3	4

Fehérjék konformációinak stabilitása

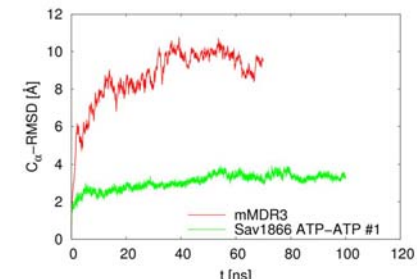
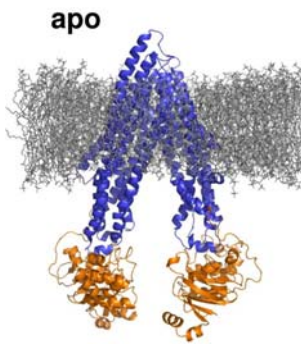
Eur Biophys J (2008) 37:403–409



ABC fehérjék konformációi

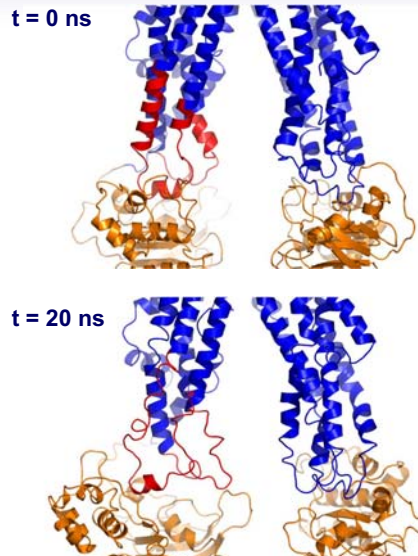


Az alul nyitott apo szerkezet nem stabil



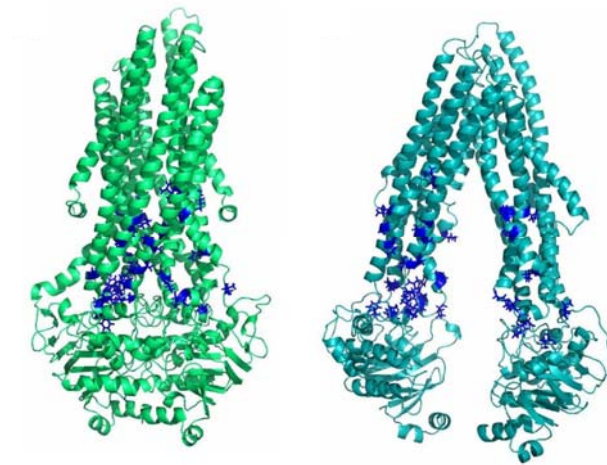
Gyimesi et al. BBA 2012

Az alul nyitott apo szerkezet nem stabil



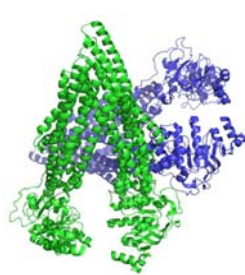
rendszer	megtartott hélixtartalom
Sav1866 ATP/ATP #1	90.04%
hMDR1 holo	91.84%
hMDR1 apo	64.30%
mMDR3	63.13%

Hidrofób aminosavak kerülnek felszínre

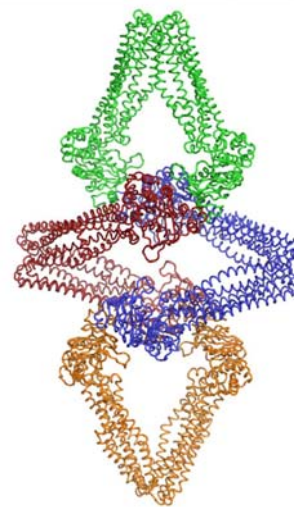


Alul nyitott apo szerkezet elemi cellája

mMDR3, PDBID:3G5U



MsbA, PDBID:3B5W



Események modellezése

➤ Hogyan befolyásolja az ATP hidrolízise a fehérje dinamikáját?
Pl. steered MD

➤ Hogyan történik meg az átmenet
az „alul-zárt” konformációból az „alul-nyitott” konformációba?

Pl. targeted MD

Köszönetnyilvánítás

www.hegelab.org

Jakab Kristóf
Sarankó Hajnalka
Szöllősi Dániel
Tordai Hedvig
Tóth Attila

Erdei Áron
Harmat Zita

Sarkadi Balázs

OVSZ, MTA TTK

Kellermayer Miklós

SE Biofizikai és Sugárbiológiai Intézet

